

doi:10.7659/j.issn.1005-6947.240194 http://dx.doi.org/10.7659/j.issn.1005-6947.240194

China Journal of General Surgery, 2025, 34(4):802–809.

・ 简要论著・

VASP、COX-2和PD-L1在结直肠癌组织中的表达及其临床 意义

王超1、张侠2

(1.湖北省咸宁市中心医院/湖北科技学院附属第一医院 肿瘤科、湖北 咸宁 437000; 2. 湖北科技学院公共卫生与健康学 院, 湖北 咸宁 437000)

要 摘

背景与目的:结直肠癌是全球发病率第三的常见恶性肿瘤,目多数患者在确诊时已处于中晚期,预后 较差,临床亟须寻找新的分子靶点以提高诊疗效果。血管扩张刺激磷蛋白(VASP)、环氧化酶2 (COX-2) 和程序性死亡配体1(PD-L1)在多种恶性肿瘤中被证实与肿瘤进展和免疫逃逸密切相关,但 其在结盲肠癌中的表达特征及临床意义尚不明确。本研究探讨 VASP、COX-2 和 PD-L1 在人结直肠癌组 织中的表达及其临床意义,以期为结直肠癌的诊断和预后评估提供新思路。

方法: 收集 2017 年 6 月 - 2020 年 12 月湖北省咸宁市中心医院 96 例行结直肠癌根治术的患者为研究对 象,分别用qRT-PCR和免疫组化分析VASP、COX-2、PD-L1在结直肠癌组织中的表达及其与患者临床 病理因素、预后的关系。

结果: qRT-PCR 结果显示,结直肠癌组织中 VASP、COX-2、PD-L1的 mRNA 表达水平均明显高于癌旁组 织(均P<0.05); 在结直肠癌组织中, VASP和COX-2的mRNA表达呈正相关, COX-2和PD-L1的mRNA 表达呈正相关(均 P<0.05); VASP、COX-2、PD-L1的 mRNA 表达是结直肠癌的危险因素(均 P<0.05)。 免疫组化结果显示,淋巴结转移、肿瘤分化程度、临床分期与 VASP、COX-2、PD-L1表达程度有关, 肿瘤浸润程度与COX-2表达程度有关(均P<0.05); VASP、COX-2、PD-L1低表达患者生存率高于各自 高表达患者(均P<0.05);淋巴结转移、肿瘤分化程度、临床分期、COX-2和PD-L1表达是结直肠癌患 者总生存时间的独立危险因素(均P<0.05)。

结论: VASP、COX-2及PD-L1在结直肠癌组织中高表达,三者可能协同参与肿瘤的发生与进展。它们 的表达水平不仅与患者的临床病理特征密切相关,亦可作为潜在的预后评估指标,为结直肠癌的分子 分型与个体化治疗提供参考依据。

关键词

结直肠肿瘤;血管扩张刺激磷蛋白;环氧化酶2;程序性死亡配体1

中图分类号: R735.3

结直肠癌属于全世界第三大常见恶性肿瘤。 现阶段我国结直肠癌发病率与病死率均位居全球 前列,呈持续上升趋势,且年长者高于年轻者, 男性高于女性[1-4]。手术切除是结直肠癌最有效的 治疗手段,研究[5]还指出:通过标准化治疗后,近

收稿日期: 2024-04-10; 修订日期: 2025-04-14。

作者简介: 王超, 湖北省咸宁市中心医院/湖北科技学院附 属第一医院副主任医师, 主要从事恶性肿瘤诊疗

方面的研究。

通信作者: 张侠, Email: zhangxia42@163.com

90%早期结直肠癌可达5年预期寿命,一旦出现远 处转移或局部复发,其5年生存率仅有14%。而多 数结直肠癌确诊时已属中晚期,可能发展为转移 性结直肠癌,导致预后变差,失去根治性手术机 会[6]。因此, 亟须有效肿瘤预后指标, 为结直肠癌 的临床治疗提供方向和依据。

血管扩张刺激磷蛋白 (vasodilator stimulated phosphoprotein, VASP) 能够调控 actin 聚合,属于 Ena-VASP 家族关键一员,其异常过度表达可加速 恶性肿瘤癌变进程。提示沉默VASP能显著抑制细

胞侵袭能力与细胞增殖能力,降低癌细胞 Wnt/ β-catenin 信号活性,促进癌细胞发生凋亡,进一步 抑制恶性肿瘤发生发展[7-8]。环氧化酶2 (cyclooxygenase 2, COX-2) 包含9个内含子、10个 外显子,基因长度约8.3 kB,定位于1q25.2-25.3, 于机体正常组织中沉默表达, 在恶性肿瘤中阳性 表达率显著上升。且COX-2存在原癌基因活性,能 抑制靶基因表达,参与细胞侵袭和增殖,促进肿 瘤生长与转移, 提示其对于疾病预后具备指导意 义^[9]。程序性死亡受体配体1(programmed cell death ligand 1, PD-L1) 为关键免疫检查点,是B7 家族共抑制分子成员,可作用于多种肿瘤细胞表 面,并能与程序性死亡蛋白1 (programmed cell death protein 1, PD-1) 相结合,促使效应T细胞活 性受到抑制,帮助肿瘤细胞生存发展,逃避免疫 攻击[10]。且研究[11]表明, PD-L1 抗体阻断能够缓解 部分癌症, 使抗肿瘤免疫反应被激活。这也说明 VASP、COX-2、PD-L1可能与结直肠癌生长进展有 关,故本研究探讨VASP、COX-2和PD-L1在人结直 肠癌组织中的表达水平及其与临床病理特征和预 后的关系,以期为结直肠癌的诊断和预后评估提 供新思路。

1 资料与方法

1.1 一般资料

收集 2017年6月—2020年12月湖北省咸宁市中心医院行结直肠癌根治术的96 例患者为研究对象,其中直肠癌45 例,结肠癌51 例;女性38 例,男性58 例;年龄30~85 岁,平均(63.54±12.17)岁,>60 岁 61 例,《60 岁 35 例;肿瘤直径>5 cm 27 例,《5 cm 69 例;按照《世界卫生组织2019年消化系统肿瘤分类》[12]进行评估:存在淋巴结转移者56 例,无淋巴结转移者40 例;低分化者11 例,中分化者83 例,高分化者2 例;肿瘤浸润T1~T2 者15 例,T3~T4者81 例;TNM分期I期10 例,II期29 例,III期52 例,IV期5 例。纳入病例均经病理证实,术前均未接受放化疗,且病例资料完整,均接受随访。本研究经医院伦理委员会批准,患者及其家属均已签署知情同意书。

1.2 qRT-PCR检测

选择96份结直肠癌组织,另选取20份对应癌 旁组织(距离癌组织2cm)为参照,均行荧光定

量 PCR 测定。 VASP: 选择 Takara 试剂盒提取组织 RNA,并按照试剂盒说明书操作,逆转录成 cDNA, 后利用 qRT-PCR 测定 VASP 表达。PCR 步骤 为: 95 ℃变性 15 s, 55~60 ℃退火 15 s, 72 ℃延伸 15 s, 共计45个循环, 使用2-△△CT法计算 VASP的 表达量。引物序列:正向:5'-ATG GCA ACA AGC GAT GGC T-3'; 反向: 5'-CGA TGG CAC AGT TGA TGA CCA-3'。COX-2:选择RNA抽提试剂盒提取组 织总RNA, 按照反转录试剂盒说明书操作, 获取 cDNA。以β-actin 为内对照, 行PCR 测定。反应条 件: 94 ℃变性 45 s, 57 ℃退火 5 min, 72 ℃延伸 45 s, 共计 40 个循环, 使用 2-△△Ct 法计算 COX-2 mRNA的相对表达量。COX-2引物序列:正向:5' -CAG CAC TTC ACG CAT CAG TT-3'; 反向: 5'-TCA GCC ACT CAA TGA TGA TCT TC-3'。β-actin 引物序 列: 正向: 5'-CAT GTA CGT TGC TAT CCA GGC-3'; 反向: 5'-CTC CTT AAT GTC ACG CAC GAT-3'。 PD-L1:选择TRIzol试剂盒提取组织总RNA,依据 逆转录试剂盒说明书操作,得到cDNA,后定量 PCR 测定 PD-L1 mRNA 表达。PCR 步骤为: 95 ℃预 变性 3 min, 95 ℃变性 5 s, 60 ℃退火 20 s, 共计 40个循环,内参为GAPDH,使用2-△△CI法计算 PD-L1 mRNA 的相对表达量。PD-L1 引物序列:正 向: 5'-TGG CAT TTG CTG AAC GCA TTT-3'; 反向: 5'-TGC AGC CAG GTC TAA TTG TTT T-3'。 GAPDH 引 物序列: 正向: 5'-GAA GGT GAA GGT CGG AGT C-3'; 反向: 5'-GAA GAT GGT GAT GGG ATT TC-3'。

1.3 免疫组化检测

免疫组织化学法测定所有组织中VASP、COX-2、PD-L1的表达。通过10%福尔马林固定全部样本组织,制作石蜡包埋标本,4μm厚连续切片。去除过氧化物酶,可于3%H₂O₂室温孵育15 min,高温抗原修复10 min。常规脱蜡后,利用全自动免疫组化染色仪进行染色,滴加VASP、COX-2、PD-L1抗体试剂,以PBS代替一抗为阴性对照,过夜,进行3次PBS冲洗,后续具体操作步骤按照说明书严格完成,中性树脂封片。

1.4 结果判读

显微镜下观察染色结果,由2名病理科医生独立完成。VASP表达:染色强度计为0~3分,3代表强阳性(强染色),2代表中度阳性(中等染色),1代表弱阳性(弱染色),0代表阴性(无染色);细胞阳性率设为5个等级,4代表阳性率76%~

100%, 3代表阳性率51%~75%, 2代表阳性率 26%~50%, 1代表阳性率1%~25%, 0代表阴性; 最终结果为细胞阳性率和染色强度的乘积, 阳性 (高表达)为4~12分,阴性(低表达)为0~3分[13]。 PD-L1 表达:细胞膜出现棕黄色颗粒为染色阳性, 任何程度细胞膜着色均属于阳性。肿瘤细胞阳性 比例分数=(PD-L1 阳性肿瘤细胞数/总存活肿瘤细 胞数)×100%。免疫细胞评分仅评估肿瘤微环境 中免疫细胞的PD-L1表达。判读以5%为界点,阴 性低表达评分<5%, 阳性表达评分≥5%^[14]。COX-2 表达:染色强度计为0~3分,3为棕褐色,2为棕 黄色,1为淡黄色,0为无色;计数1000个肿瘤细 胞,阳性表达率10%及以上代表阳性反应,10%以 下代表无明显阳性反应,其中3为阳性率50%以上, 2为阳性率>25%~50%, 1为阳性率>5%~25%, 0为阳 性率5%及以下; 最终评分为两者乘积, 阳性为2分 及以上, 阴性为0~1分[15]。

1.5 随访

通过电话随访,观察患者有无复发疑似症状,同时嘱咐其定期复诊,记录其生存率情况。

1.6 统计学处理

采用 SPSS 26.0 进行统计。计量资料采用 t检验;计数资料采用 χ^2 检验;采用 Pearson 相关系数评估指标之间的相关性;采用 Logistic 回归分析结直肠癌相关危险因素;生存分析采用 Kaplan-Meier 曲与 Log-rank 检验;采用 Cox 回归模型进行预后影响因素分析;P<0.05 为差异有统计学意义。

2 结 果

2.1 结直肠癌组织中VASP、COX-2、PD-L1表达

结直肠癌组织中 VASP、COX-2、PD-L1的mRNA表达水平均明显高于癌旁组织(均P<0.05)(图1)。Pearson相关性分析显示,VASP和COX-2的mRNA表达呈正相关(P<0.05),COX-2和PD-L1的mRNA表达呈正相关(P<0.05)(图2)。

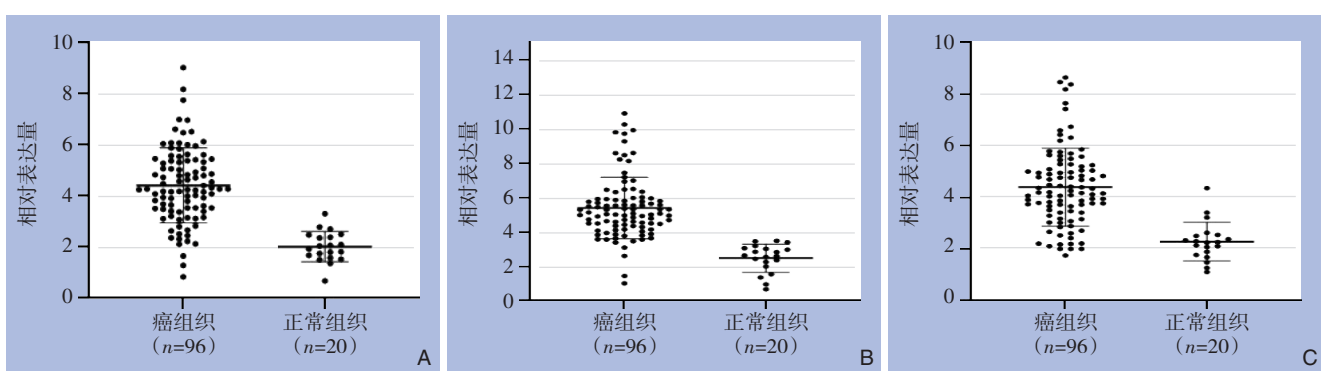


图1 结直肠癌组织及癌旁组织中VASP、COX-2、PD-L1的mRNA表达

A: VASP; B: COX-2; C: PD-L1

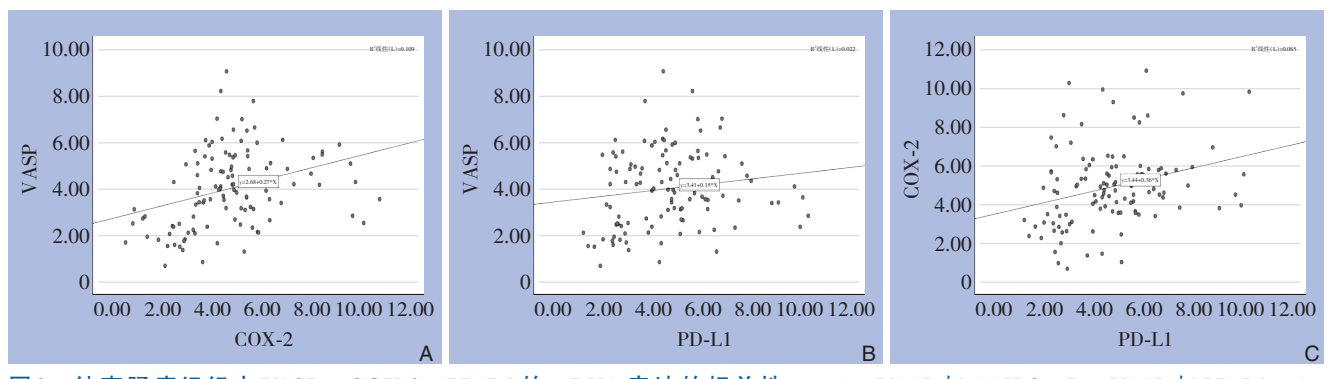


图2 结直肠癌组织中 VASP、COX-2、PD-L1 的 mRNA 表达的相关性 A: VASP 与 COX-2; B: VASP 与 PD-L1; C: COX-2与 PD-L1

2.2 结直肠癌相关Logistic回归分析

以结直肠癌情况为因变量(癌组织=1,癌旁组织=0),以VASP mRNA(连续变量)、COX-2 mRNA(连续变量)、PD-L1 mRNA(连续变量)作为自变

量归类于 Logistic 回归模型。多因素结果显示, VASP、COX-2、PD-L1的 mRNA 表达均为结直肠癌 相关危险因素(均 P<0.05)(表 1)。

表1	Logistic	回り	归分	析
----	----------	----	----	---

因素	β	SE	Wald	P	OR	95% CI
VASP	2.428	1.164	4.352	0.037	11.337	1.158~110.976
COX-2 mRNA	2.250	1.058	4.522	0.033	9.485	1.193~75.423
PD-L1 mRNA	3.560	1.574	5.113	0.024	35.146	1.607~768.827
常数项	-23.969	10.004	5.740	0.017	_	_

2.3 VASP、COX-2、PD-L1 表达与临床病理特征的 关系

经免疫组化检测,96 例结直肠癌患者中, VASP低表达58 例,高表达38 例;COX-2 低表达31 例,高表达65 例;PD-L1 低表达57 例,高表达 39 例。结果显示:淋巴结转移、肿瘤分化程度、临床分期与 VASP、COX-2、PD-L1 表达水平有关,肿瘤 浸润程度与 COX-2 表达水平有关(均 P<0.05)(表2)。

表2 VASP、COX-2、PD-L1表达与临床病理特征的关系[n(%)]

VASP			COX-2、TD-LT 及送与個体例基书			PD-L1			
特征	低表达(n=58)	高表达(n=38)	P	低表达(n=31)	高表达(n=65)	P	低表达(n=57)	高表达(n=39)	P
年龄(岁)									
>60	39(67.24)	22(57.89)	0.252	21(67.74)	40(61.54)	0.555	37(64.91)	24(61.54)	0.727
≤60	19(32.76)	16(42.11)	0.352	10(32.26)	25(38.46)	0.555	20(35.09)	15(38.46)	0.736
肿瘤部位									
直肠	28(48.28)	17(44.74)	0.724	11(35.48)	34(52.31)	0.100	29(50.88)	16(41.03)	0.242
结肠	30(51.72)	21(55.26)	0.734	20(64.52)	31(47.69)	0.122	28(49.12)	23(58.97)	0.342
性别									
男	34(58.62)	24(63.16)	0.655	17(54.84)	41(63.08)	0.440	31(54.39)	27(69.23)	0.444
女	24(41.38)	14(36.84)	0.657	14(45.16)	24(36.92)	0.440	26(45.61)	12(30.77)	0.144
肿瘤直径(cm)								
>5	14(24.14)	13(34.21)	0.000	6(19.35)	21(32.31)	0.405	12(21.05)	15(38.46)	0.062
≤ 5	44(75.86)	25(65.79)	0.283	25(80.65)	44(67.69)	0.187	45(78.95)	24(61.54)	0.062
淋巴结转移	ξ								
是	23(39.66)	33(86.84)	0.000	8(25.81)	48(73.85)	0.000	25(43.86)	31(79.49)	0.004
否	35(60.34)	5(13.16)	0.000	23(74.19)	17(26.15)	0.000	32(56.14)	8(20.51)	0.001
肿瘤分化程	是度								
低	1(1.72)	10(26.32)	0.000	0	11(16.92)	0.045	2(3.51)	9(23.08)	0.002
高+中	57(98.28)	28(73.68)	0.000	31(100.00)	54(83.08)	0.015	55(96.49)	30(76.92)	0.003
肿瘤侵润程	是度								
T1~T2	10(17.24)	5(13.16)	0.500	9(29.03)	6(9.23)	0.016	11(19.3)	4(10.26)	0.221
T3~T4	48(82.76)	33(86.84)	0.590	22(70.97)	59(90.77)	0.018	46(80.70)	35(89.74)	0.231
临床分期									
I+II	33(56.90)	6(15.79)	0.000	23(74.19)	16(24.62)	0.000	33(57.89)	6(15.38)	0.004
III+IV	25(43.10)	32(84.21)	0.000	8(25.81)	49(75.38)	0.000	24(42.11)	33(84.62)	< 0.001

2.4 预后分析

96 例患者中,随访时间 8~44 个月,平均 34.32 个月,术后随访截止时间为 2023 年 12 月,患者生存 68 例,死亡 28 例,总生存率为 70.83%。 VASP 低表达组生存率为 84.48%,高表达组生存率为 50.00%;COX-2 低表达组生存率为 87.10%,高表

达组生存率为 63.08%; PD-L1 低表达组生存率为 84.21%,高表达组生存率为 51.28%。绘制 Kaplan-Meier曲线图,利用 Log-rank 检验比较 VASP、COX-2、PD-L1 低表达患者与高表达患者生存率,差异均有统计学意义(χ^2 =15.661,P=0.000; χ^2 =5.599,P=0.018; χ^2 =12.498,P=0.000)(图 3)。

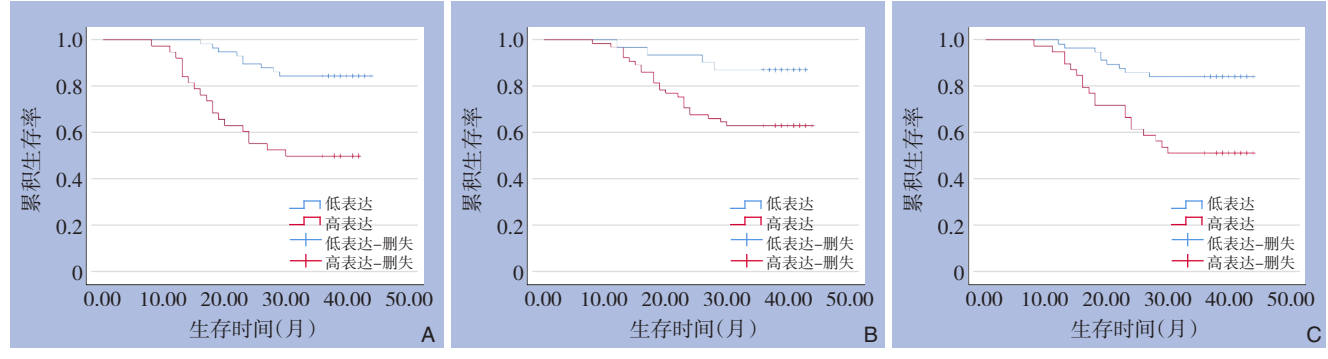


图3 VASP、COX-2、PD-L1表达与总生存率的关系 A: VASP; B: COX-2; C: PD-L1

2.5 患者预后因素分析

Cox 单因素回归显示,淋巴结转移、肿瘤分化程度、临床分期、VASP、COX-2、PD-L1表达与结直肠癌患者总生存时间有关(均 P<0.05)(表 3)。

Cox 多因素回归显示,淋巴结转移、肿瘤分化程度、临床分期、COX-2、PD-L1表达是结直肠癌患者总生存的独立危险因素(均 P<0.05)(表 4)。

因素	β	SE	Wald	HR(95% CI)	P
年龄	-0.228	0.405	0.318	0.796 (0.360~1.759)	0.573
肿瘤部位	-0.239	0.379	0.396	0.788(0.375~1.656)	0.529
性别	-0.346	0.405	0.732	0.707 (0.320~1.564)	0.392
肿瘤直径	-0.509	0.395	1.663	0.601 (0.277~1.303)	0.197
淋巴结转移	-2.014	0.612	10.850	0.133 (0.040~0.442)	0.001
肿瘤分化程度	-2.317	0.414	31.400	0.099 (0.044~0.222)	0.000
肿瘤侵润程度	-1.718	1.019	2.845	0.179 (0.024~1.321)	0.092
临床分期	-2.005	0.612	10.735	0.135(0.041~0.447)	0.001
VASP	-1.465	0.406	13.037	0.231 (0.104~0.512)	0.000
COX-2	-1.199	0.540	4.925	0.301 (0.104~0.869)	0.026
PD-L1	-1.285	0.396	10.548	0.277 (0.127~0.601)	0.001

表3 Cox单因素回归分析

表4 Cox 多因素回归分析

因素	β	SE	Wald	HR(95% CI)	P
淋巴结转移	-2.216	0.641	11.947	0.109(0.031~0.383)	0.001
肿瘤分化程度	-1.725	0.480	12.898	0.178(0.069~0.457)	0.000
肿瘤侵润	-1.994	1.060	3.536	0.136(0.017~1.088)	0.060
临床分期	-1.821	0.662	7.561	0.162(0.044~0.593)	0.006
PD-L1	-1.427	0.459	9.664	0.240(0.098~0.590)	0.002
COX-2	-1.605	0.716	5.028	0.201(0.049~0.817)	0.025
VASP	-0.821	0.494	2.770	0.440(0.167~1.157)	0.096

3 讨论

目前结直肠癌发病率与病死率位居全世界前列,在消化系统恶性肿瘤中仅次于原发性肝癌、食管癌、胃癌^[16-18]。且多数结直肠癌发现时已处于中晚期,严重危及患者生命健康,故早期诊断至关重要^[19-20]。VASP、COX-2、PD-L1 多表达于恶性肿瘤细胞表面,本研究通过分析其与结直肠癌临床特征的关系,进一步探讨其在结直肠癌组织中的表达和临床预后价值。

VASP 是一类肌动蛋白结合蛋白,最初在血小 板中被发现, 于血小板活化、轴突导向、成纤维 细胞迁移、细胞骨架组装中发挥重要作用,具备 调节细胞黏附、细胞移动、细胞增殖、细胞运动 及形态变化的功能。VASP过表达可促进乳腺癌、 肝癌、肺癌细胞的转移和侵袭能力增强,这可能 与 VASP 促进肿瘤细胞上皮-间质转化有关[21-23]。 Pitari 等[24]指出, VASP 属于有前景的生物标志物靶 标,其中pSer²³⁹-VASP抑制侵袭性细胞形态和转移 性表型, pSer¹⁵⁷-VASP影响细胞内定位。经免疫组 化方法检测结直肠癌组织及正常邻近组织中VASP 蛋白、pSer¹⁵⁷-VASP、pSer²³⁹-VASP表达水平,发现 VASP表达和磷酸化的变化与肿瘤侵袭、疾病复发 显著相关,提示 VASP 可作为结直肠癌的预后生物 标志物。另有研究[13]指出, VASP与肿瘤淋巴结转 移、肿瘤分期、肿瘤分化程度有关,是结直肠癌 患者死亡和复发的独立预测因素之一。且上调 VASP 可促进结直肠癌转移侵袭,进一步证明其是 促进疾病进展的重要分子。但陈晨等[25]提到, VASP 是 PKA 和 PKG 的共同作用底物蛋白, PKA 优 先磷酸化 Ser¹⁵⁷ 处 VASP, PKG 优先磷酸化 Ser²³⁹ 处 VASP, 经检测发现 VASP 及两种磷酸化 VASP 在结 直肠癌中的表达水平显著低于癌旁正常组织。这 说明现阶段 VASP 在结直肠癌中表达的有关报道, 结论尚存在相互矛盾的现象,还拥有改进之处, 应尽可能排除混杂因素,进行多中心大样本研究 验证。不过值得注意的是,明确 VASP 在结直肠癌 中的表达与功能,仍可为疾病治疗提供潜在靶点。

COX存在COX-1、COX-2两种亚型,COX-1可参与保护消化道黏膜、调节外周血管阻力等一系列生理功能,多表达于机体正常组织与器官中。COX-2在生理状态下表达量较少,若受到细菌内毒素、炎症因子、癌基因激活等病理状态下的刺激

作用,其表达量会迅速增加,因此 COX-2 抑制剂是结直肠癌临床治疗的有效药物^[26]。Terrin 等^[27]通过测定 COX-2 在结直肠癌组织和正常邻近组织中的表达,发现 COX-2 在结直肠癌组织中的成纤维细胞、血管内皮细胞内表达强度显著,且 COX-2 表达与肿瘤分期、有淋巴结转移、肿瘤分化程度、侵袭肠壁层次有关,与肿瘤大小和患者年龄、性别无关,提示 COX-2 高水平与不良预后的病理参数相关。研究^[28]也指出,COX-2 mRNA 与蛋白表达水平在结直肠癌中明显高于癌旁组织,说明其表达于肿瘤组织和转移灶血管上,能增强肿瘤侵袭转移能力,促进肿瘤细胞增殖,还能使内皮细胞生长,诱导肿瘤血管、淋巴管生成,进一步促进细胞转移和侵袭。提示 COX-2 可能参与结直肠癌发生和发展,其异常高表达可促癌细胞分化,不利于疾病预后。

PD-1常表达于巨噬细胞、自然杀伤细胞、B淋 巴细胞、T淋巴细胞胞膜,其配体PD-L1常表达于 肿瘤细胞,也能在激活的巨噬细胞、T细胞表面表 达。两者结合后可抑制T细胞活性, 损伤其肿瘤免 疫监控机制,造成肿瘤免疫耐受与逃逸^[29]。Shen 等[30]通过数据库提取相关数据进行 Meta 分析,以 评估结盲肠癌患者 PD-L1 表达与总生存期的关系, 结果显示 PD-L1 高表达与结直肠癌预后不良有显著 相关性。且根据临床病理特征,合并比值比显示, 高表达PD-L1与临床晚期(OR=1.77, 95% CI=1.41~ 2.23)、淋巴浸润 (OR=3.49, 95% CI=1.54~7.90) 密 切相关,与肿瘤位置、微卫星不稳定性及患者性 别无关。提示 PD-L1 表达可作为判断结直肠癌预后 的独立因素,同时此结论可能为PD-1/PD-L1免疫测 定点抑制剂的应用奠定理论基础。研究[31]还指出: PD-1/PD-L1 与结直肠癌分化程度和转移情况有关, 证明了其可作为结直肠癌预后评估指标之一,其 靶向药物更是现阶段肿瘤免疫治疗的研究重点, 未来有望使用PD-1阻断剂抑制肿瘤细胞PD-L1上 调造成的免疫耐受,从而起到治疗结直肠癌的 作用。

结合本研究结果可知,结直肠癌组织中VASP、COX-2、PD-L1的mRNA表达水平均显著高于癌旁组织,且淋巴结转移、肿瘤分化程度、临床分期与VASP、COX-2、PD-L1表达程度有关,肿瘤浸润程度与COX-2表达程度有关,提示VASP、COX-2、PD-L1表达可能参与结直肠癌发生和发展,共同推动了疾病病情进展。而经Pearson相关系数

评估, VASP和COX-2表达呈正相关, COX-2和 PD-L1 表达呈正相关,这可能是因上述因子在肿瘤 微环境中存在一定协同作用, 三者协同作用可能 进一步驱动结直肠癌进展,故同时阻断 VASP、 COX-2和PD-L1可能成为结直肠癌的新型联合疗 法。多因素分析结果还显示, VASP、COX-2、PD-L1 是结直肠癌相关危险因素;利用Log-rank 检验比较 VASP、COX-2、PD-L1 低表达患者与高表达患者生 存率,差异均有统计学意义,同时Cox多因素回归 显示,淋巴结转移、肿瘤分化程度、临床分期、 COX-2、PD-L1表达是影响结直肠癌总生存时间的 独立危险因素,进一步证明了其在结直肠癌中具 备一定预后评估价值,未来可能成为疾病免疫治 疗靶点。但本研究样本量有限,可能造成结果偏 倚,同时结肠癌和直肠癌具有不同的生物学差异, 本研究尚未进行生物学标志物差异性研究,综合 考量存在一定局限性,故未来尚需多中心大样本 量研究,进行区分生物学差异引起的分子表达水 平和预后差异的研究,以验证研究结果准确性。

作者贡献声明:王超负责酝酿和设计实验、实施研究,起草文章,统计分析;张侠负责采集数据、分析/解释数据,对文章的知识性内容作批评性审阅,获取研究经费,行政、技术或材料支持,指导,支持性贡献。

利益冲突: 所有作者均声明不存在利益冲突。

参考文献

- [1] Moradi Marjaneh R, Hassanian SM, Ghobadi N, et al. Targeting the death receptor signaling pathway as a potential therapeutic target in the treatment of colorectal cancer[J]. J Cell Physiol, 2018, 233(10): 6538–6549. doi:10.1002/jcp.26640.
- [2] Moradi-Marjaneh R, Hassanian SM, Fiuji H, et al. Toll like receptor signaling pathway as a potential therapeutic target in colorectal cancer[J]. J Cell Physiol, 2018, 233(8): 5613–5622. doi: 10.1002/jcp.26273.
- [3] Shin AE, Giancotti FG, Rustgi AK. Metastatic colorectal cancer: mechanisms and emerging therapeutics[J]. Trends Pharmacol Sci, 2023, 44(4):222–236. doi:10.1016/j.tips.2023.01.003.
- [4] 赵志红, 刘蕊, 王青霞, 等. 早期结直肠癌内镜治疗后追加外科手术必要性的临床分析[J]. 中国普通外科杂志, 2024, 33(4):656-662. doi:10.7659/j.issn.1005-6947.2024.04.016.
 Zhao ZH, Liu R, Wang QX, et al. Clinical analysis of the necessity

- of additional surgical intervention following endoscopic treatment for early-stage colorectal cancer[J]. China Journal of General Surgery, 2024, 33(4): 656–662. doi: 10.7659/j. issn. 1005–6947.2024.04.016.
- [5] Siegel RL, Miller KD, Fedewa SA, et al. Colorectal cancer statistics, 2017[J]. CA Cancer J Clinicians, 2017, 67(3):177–193. doi:10.3322/caac.21395.
- [6] Picard E, Verschoor CP, Ma GW, et al. Relationships between immune landscapes, genetic subtypes and responses to immunotherapy in colorectal cancer[J]. Front Immunol, 2020, 11: 369. doi:10.3389/fimmu.2020.00369.
- [7] Li K, Zhang J, Tian Y, et al. The Wnt/β-catenin/VASP positive feedback loop drives cell proliferation and migration in breast cancer[J]. Oncogene, 2020, 39(11): 2258–2274. doi: 10.1038/ s41388-019-1145-3.
- [8] Tian Y, Xu L, He Y, et al. Knockdown of RAC1 and VASP gene expression inhibits breast cancer cell migration[J]. Oncol Lett, 2018, 16(2):2151–2160. doi:10.3892/ol.2018.8930.
- [9] 郭广洋, 王宏, 闫寒冰. 结直肠癌 COX-2、MSS 表达与临床病理特征的相关性分析[J]. 实用癌症杂志, 2020, 35(3):391-394. doi: 10.3969/j.issn.1001-5930.2020.03.013.
 - Guo GY, Wang H, Yan HB. Correlation analysis between COX-2 and MSS expression and clinicopathological features in colorectal cancer[J]. The Practical Journal of Cancer, 2020, 35(3): 391–394. doi:10.3969/j.issn.1001–5930.2020.03.013.
- [10] Li P, Huang T, Zou Q, et al. FGFR2 promotes expression of PD-L1 in colorectal cancer via the JAK/STAT3 signaling pathway[J]. J Immunol, 2019, 202(10): 3065–3075. doi: 10.4049/jimmunol.1801199.
- [11] Poggio M, Hu T, Pai CC, et al. Suppression of exosomal PD-L1 induces systemic anti-tumor immunity and memory[J]. Cell, 2019, 177(2):414–427. doi:10.1016/j.cell.2019.02.016.
- [12] Nagtegaal ID, Odze RD, Klimstra D, et al. The 2019 WHO classification of tumours of the digestive system[J]. Histopathology, 2020, 76(2):182–188. doi:10.1111/his.13975.
- [13] 党运芝, 于娇, 赵淑红, 等. 结直肠癌中 VASP 表达及与转移关系 研究[J]. 中华结直肠疾病电子杂志, 2021, 10(3):266-272. doi: 10.3877/cma.j.issn.2095-3224.2021.03.008.
 - Dang YZ, Yu J, Zhao SH, et al. The expression of VASP in colorectal cancer and its relationship with metastasis[J]. Chinese Journal of Colorectal Disease:Electronic Edition, 2021, 10(3):266–272. doi:10.3877/cma.j.issn.2095–3224.2021.03.008.
- [14] 马雯娟, 任建伟, 常守凤, 等. PD-L1 在结直肠癌肿瘤细胞、肿瘤 浸润免疫细胞中的表达与临床病理特征及预后的相关性[J]. 现代肿瘤医学, 2023, 31(14): 2660-2665. doi: 10.3969/j. issn. 1672-4992.2023.14.016.
 - Ma WJ, Ren JW, Chang SF, et al. Expression of PD-L1 in tumor cells, tumor-infiltrating immune cells of colorectal cancer and its

- correlation with clinicopathological features and prognosis[J]. Journal of Modern Oncology, 2023, 31(14): 2660–2665. doi: 10.3969/j.issn.1672–4992.2023.14.016.
- [15] 张翔, 杨觅, 胡静, 等. 结直肠癌中 C-MET、COX-2、MSS、Ki-67的 表达及其与预后的相关性分析[J]. 解放军预防医学杂志, 2018, 36(5):598-601. doi:10.13704/j.cnki.jyyx.2018.05.012.

 Zhang X, Yang M, Hu J, et al. Expressions of C-MET, COX-2, MSS and ki-67 in colorectal cancer and correlations with prognosis[J]. Journal of Preventive Medicine of Chinese People's Liberation Army, 2018, 36(5): 598-601. doi: 10.13704/j. cnki. jyyx.2018.05.012.
- [16] Bray F, Ferlay J, Soerjomataram I, et al. Global cancer statistics 2018: GLOBOCAN estimates of incidence and mortality worldwide for 36 cancers in 185 countries[J]. CA Cancer J Clin, 2018, 68(6):394-424. doi:10.3322/caac.21492.
- [17] 张俐娜, 赵勇, 姜红红, 等. 低位直肠癌经括约肌间切除术后吻合口瘘对患者近远期肛门功能影响的临床分析[J]. 中国普通外科杂志, 2024, 33(4): 561-568. doi: 10.7659/j. issn. 1005-6947.2024.04.006.
 - Zhang LN, Zhao Y, Jiang HH, et al. Clinical analysis of impact of anastomotic leakage on short-and long-term anal function in patients after intersphincteric resection for low rectal cancer[J]. China Journal of General Surgery, 2024, 33(4): 561–568. doi: 10.7659/j.issn.1005–6947.2024.04.006.
- [18] Zhao H, Ming T, Tang S, et al. Wnt signaling in colorectal cancer: pathogenic role and therapeutic target[J]. Mol Cancer, 2022, 21(1): 144. doi:10.1186/s12943-022-01616-7.
- [19] Zygulska AL, Pierzchalski P. Novel diagnostic biomarkers in colorectal cancer[J]. Int J Mol Sci, 2022, 23(2):852. doi:10.3390/ ijms23020852.
- [20] Patel SG, Dominitz JA. Screening for colorectal cancer[J]. Ann Intern Med, 2024, 177(4): ITC49–ITC64. doi: 10.7326/ AITC202404160.
- [21] 袁建良, 史春桃, 韩玮, 等. Bcl-3 与 VASP 在乳腺癌组织中的表达及与临床病理特征的关系[J]. 现代肿瘤医学, 2022, 30(14):2539-2543. doi:10.3969/j.issn.1672-4992.2022.14.011.
 Yuan JL, Shi CT, Han W, et al. Expression of Bcl-3 and VASP in
 - breast cancer and its relationship with clinicopathological features[J]. Journal of Modern Oncology, 2022, 30(14):2539–2543. doi:10.3969/j.issn.1672-4992.2022.14.011.
- [22] Liu W, Chen X, He Y, et al. TNF- α inhibits xenograft tumor formation by A549 lung cancer cells in nude mice via the HIF-1α/ VASP signaling pathway[J]. Oncol Rep, 2019, 41(4): 2418–2430. doi:10.3892/or.2019.7026.
- [23] Liu Z, Wang Y, Dou C, et al. Hypoxia-induced up-regulation of VASP promotes invasiveness and metastasis of hepatocellular carcinoma[J]. Theranostics, 2018, 8(17): 4649–4663. doi: 10.7150/ thno.26789.

- [24] Pitari GM, Cotzia P, Ali M, et al. Vasodilator-stimulated phosphoprotein biomarkers are associated with invasion and metastasis in colorectal cancer[J]. Biomark Cancer, 2018, 10: 1179299X18774551. doi:10.1177/1179299X18774551.
- [25] 陈晨, 金旭, 翁稚颖, 等. PKG、PKA及 VASP 在人结直肠癌组织中的表达及临床意义[J]. 重庆医学, 2019, 48(10):1669-1673. doi: 10.3969/j.issn.1671-8348.2019.10.012.
 - Chen C, Jin X, Weng ZY, et al. Expressions and clinical significances of PKG, PKA and VASP in human colorectal cancer[J]. Chongqing Medicine, 2019, 48(10): 1669–1673. doi: 10.3969/j.issn.1671–8348.2019.10.012.
- [26] Kraus S, Naumov I, Arber N. COX-2 active agents in the chemoprevention of colorectal cancer[J]. Recent Results Cancer Res, 2013, 191:95–103. doi:10.1007/978-3-642-30331-9 5.
- [27] Terrin L, Agostini M, Ruvoletto M, et al. SerpinB3 upregulates the Cyclooxygenase-2/β-Catenin positive loop in colorectal cancer[J]. Oncotarget, 2017, 8(9): 15732–15743. doi: 10.18632/ oncotarget.14997.
- [28] 刘芳, 周智辉, 王志斌, 等. 结直肠癌 COX-2表达及其与临床病理特征的相关性分析[J]. 现代生物医学进展, 2020, 20(10):1873–1876. doi:10.13241/j.cnki.pmb.2020.10.016.

 Liu F, Zhou ZH, Wang ZB, et al. Correlation of COX-2 expression with the clinicopathological features of colorectal cancer[J]. Progress in Modern Biomedicine, 2020, 20(10):1873–1876. doi: 10.13241/j.cnki.pmb.2020.10.016.
- [29] Quiroga D, Lyerly HK, Morse MA. Deficient mismatch repair and the role of immunotherapy in metastatic colorectal cancer[J]. Curr Treat Options Oncol, 2016, 17(8): 41. doi: 10.1007/s11864-016-0414-4.
- [30] Shen Z, Gu L, Mao D, et al. Clinicopathological and prognostic significance of PD-L1 expression in colorectal cancer: a systematic review and meta-analysis[J]. World J Surg Oncol, 2019, 17(1): 4. doi:10.1186/s12957-018-1544-x.
- [31] 陈思汉, 毛志刚, 张雨濛, 等. PD-L1 在人结直肠癌组织中的表达和意义初探[J]. 现代免疫学, 2023, 43(4):307-311.

 Chen SH, Mao ZG, Zhang YM, et al. The significance of PD-L1 expression in human colorectal cancer[J]. Current Immunology, 2023, 43(4):307-311.

(本文编辑 姜晖)

本文引用格式: 王超, 张侠. VASP、COX-2和PD-L1在结直肠癌组织中的表达及其临床意义[J]. 中国普通外科杂志, 2025, 34(4):802-809. doi:10.7659/j.issn.1005-6947.240194

Cite this article as: Wang C, Zhang X. Expression of VASP, COX-2, and PD-L1 in colorectal cancer tissues and their clinical significance[J]. Chin J Gen Surg, 2025, 34(4):802–809. doi:10.7659/j. issn.1005–6947.240194